

ОБЪЕДИНЕННЫЙ ИНСТИТУТ ЯДЕРНЫХ ИССЛЕДОВАНИЙ

1-2002-150

P - 605

На правах рукописи
УДК 539.172.12

РОДИОНОВ
Валерий Кимович

**ЯДЕРНАЯ МУЛЬТИФРАГМЕНТАЦИЯ
В СОУДАРЕНИЯХ ПРОТОНОВ
С ЭНЕРГИЯМИ 2,16, 3,6 И 8,1 ГэВ С ЗОЛОТОМ**

**Специальность: 01.04.16 — физика атомного ядра
и элементарных частиц**

**Автореферат диссертации на соискание ученой степени
кандидата физико-математических наук**

Дубна 2002

Работа выполнена в Лаборатории ядерных проблем имени В.П. Джеллева Объединенного института ядерных исследований (Дубна).

Научный руководитель:

доктор физико-математических наук, профессор Карнаухов В.А.

Официальные оппоненты:

доктор физико-математических наук, профессор Тер-Акопьян Г.М.

доктор физико-математических наук, профессор Оглоблин А.А.

Ведущая организация – Отделение ядерной физики и астрофизики Физического института им. П.Н. Лебедева РАН.

Защита состоится " " 2002 г. в " " часов на заседании диссертационного совета Д 720.001.03 в Объединенном институте ядерных исследований (Дубна) по адресу 141980, г. Дубна ОИЯИ, конференц-зал ЛЯП.

С диссертацией можно ознакомиться в библиотеке ОИЯИ.

Автореферат разослан " " июля 2002 г.

Ученый секретарь диссертационного совета
доктор физико-математических наук, профессор



Батусев Ю.А.

Актуальность работы

Изучение механизма распада ядра при энергиях, сравнимых с полной энергией связи, является одной из основных задач современной ядерной физики. При энергиях возбуждения, сравнимых с энергией связи с энергией связи $\varepsilon^* \approx (5 \div 8)$ МэВ/нуклон, представление о долглишившем (по-сравнению с характерным ядерным временем) компаунд-ядре, компаунд-ядре, основными каналами девозбуждения которого являются испарение и деление, становится неприемлемым. Доминирующим каналом распада системы становится новый механизм распада ядра взрывного типа — мультифрагментация, характеризующийся множественным образованием фрагментов промежуточной массы (ФПМ, $3 \leq Z \leq 20$). Особый интерес к данному процессу связан с проявлением критических явлений, а именно, фазового перехода типа жидкость–газ в конечных ядрах. Идея о возможности фазового перехода типа жидкость–газ в ядерном веществе следует из аналогии между ядерным веществом и классической жидкостью. Физическим основанием такой аналогии служит то, что уравнение состояния горячей ядерной материи имеет Ван-дер-Ваальсов вид, характерный для систем с фазовым переходом типа жидкость–газ. При средней плотности барионов (нуклонов) $\rho < \rho_0$, где $\rho_0 = 0.17 \text{ Фм}^{-3}$ — равновесная плотность холодной ядерной материи, и температуре ниже критической T_c (в рамках различных моделей $T_c = 15 - 20 \text{ МэВ}$) однородное распределение материи термодинамически невыгодно, и должно происходить ее расслоение на жидкую (плотную) и газообразную (разреженную) фазы. На Рис.1 приведены изотермы для зависимости давления от объема ядерного вещества (в случае сил скирмовского типа). Изотерма при температуре $T = T_c$ соответствует фазовому переходу жидкость–газ. При ее достижении поверхностное натяжение исчезает, система становится однофазной — газовой. Область, выделенная на рисунке штриховой линией, соответствует области фазовой нестабильности ядерной системы. Следует ожидать, что высоковозбужденное ядро, расширяясь под действием теплового давления и перемещаясь по фазовой диаграмме так, как показано на Рис.2, попадает в спинодальную область. Быстрый распад системы на две фазы означает образование ядерных капель (ФПМ), окруженных газом (нуклоны, α -частицы). То есть, конечным результатом

ОБЪЕДИНЕННЫЙ ИНСТИТУТ
ЯДЕРНЫХ ИССЛЕДОВАНИЙ
БИБЛИОТЕКА

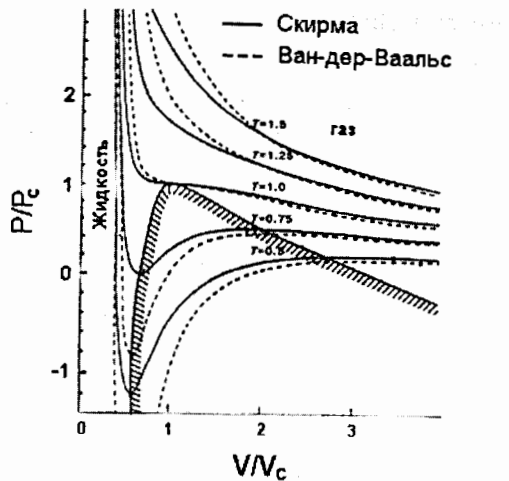


Рис.1. Уравнение состояния для ядерного вещества (сплошная линия) и системы классическая жидкость–газ (пунктир). Изотермы соответствуют температурам от 0.5 до 1.5 T_c . Давление и объем даны в единицах критических значений. Выделена область фазовой нестабильности (спинодальная область).

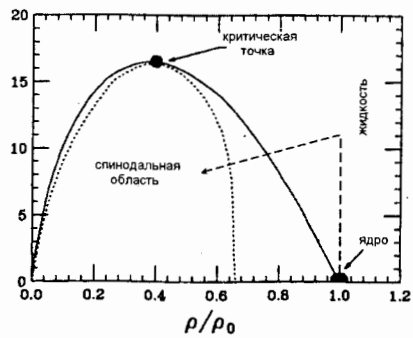


Рис.2. Фазовая диаграмма для ядерного вещества. Плотность дана в единицах нормальной ядерной плотности (0.17 Фм^{-3}). Показан путь, по которому горячее ядро, расширяясь, попадает в спинодальную область.

такого перехода является ядерный туман. Рассмотренный выше механизм образования фрагментов соответствует сценарию ядерной мультифрагментации вследствие спинодальной нестабильности ядерной

системы. Для изучения этого процесса было создано более десятка многодетекторных 4π установок, работающих на пучках тяжелых ионов. Однако нагрев ядра тяжелыми ионами сопровождается значительным сжатием, спиральным вращением и деформацией ядра. В результате только часть энергии, поглощенной ядром, является тепловой. Возбуждение коллективных степеней свободы оказывается на распаде горячего ядра и затрудняет получение информации о его термодинамических характеристиках. Картина становится значительно проще, если в качестве бомбардирующей частицы использовать легкие частицы. В этом случае все фрагменты возникают при распаде только одного возбужденного спектатора мишени, энергия возбуждения которого практически полностью тепловая. Именно такой подход к изучению процесса множественной эмиссии ФПМ используется на 4π -установке "ФАЗА" (а позднее на установке ISIS в Университете Ингольштадта), размещенной на пучке синхрофазотрона/Нуклotronа Лаборатории высоких энергий Объединенного института ядерных исследований.

Цели диссертационной работы

1. Модернизация детектора множественности фрагментов (ДМФ) установки "ФАЗА".
2. Получение новых экспериментальных данных по ядерной мультифрагментации $p+A$ соударениях при энергиях протонов 2.16, 3.6 и 8.1 ГэВ, а именно:
 - распределения по множественности фрагментов промежуточной массы (ФПМ).
 - угловые и зарядовые распределения распределения ФПМ.
 - энергетические спектры (инклузивные и эксклюзивные) фрагментов в диапазоне зарядов от $Z=2$ до $Z=14$.
 - корреляции генетически связанных фрагментов по их относительному углу.
3. Развитие нового варианта комбинированного подхода для описания процесса фрагментации ядер в протон–ядерных соударениях с использованием модели внутривядерного каскада и статистической теории распада горячих ядер.
4. Анализ полученных экспериментальных данных в рамках нового комбинированного подхода.

На защиту выносятся

1. Разработка γ -активационного метода измерения средней толщины и профиля тонких поликристаллических слоев CsI(Tl), нанесенных на пленку большой площади ($\sim 150 \text{ см}^2$).

2. Экспериментальные данные о распределении по множественности и заряду, их угловые распределения и энергетические спектры в случае p+Au соударений при энергиях протонов 2.16, 3.6 и 8.1 ГэВ.

3. Новый вариант комбинированного подхода для описания процесса разрыва ядер в протон-ядерных соударениях включающей модифицированный внутриядерный каскад (МВК) и статистическую модель мультифрагментации (СММ). Суть подхода состоит в следующем: внутриядерный каскад, обычно используемый для расчета быстрой стадии реакции, сильно переоценивает выход остаточных ядер с высокой энергией возбуждения. Вследствие этого статистическая модель мультифрагментации (СММ), описывающая дальнейший процесс распада системы, дает существенно завышенные значения средней множественности ФПМ. Отсутствие согласия экспериментально измеренных средних множественостей ФПМ с расчетными приводит к идеи о возможном дополнительном сбросе массы и энергии высоковозбужденным ядром-остатком во время расширения (за счет теплового давления) между быстрой, каскадной частью реакции и статистическим процессом множественного образования фрагментов. Эта идея была реализована в эмпирической процедуре, в результате которой энергия возбуждения и массовое число ядра-остатка (после МВК) уменьшались для получения средней множественности ФПМ, близкой к измеренному значению. Это позволило более достоверно рассчитывать характеристики (A , Z , E^*) фрагментирующего ядра.

4. Сравнение экспериментальных данных с расчетными в рамках комбинированного подхода, которое приводит к выводу о тепловом (статистическом) механизме процесса мультифрагментации при соударениях релятивистских протонов с ядрами.

5. Результаты анализа энергетических спектров фрагментов, из которых следует, что "тяжелые" фрагменты ($Z \geq 10$) формируются преимущественно в центральной области фрагментирующего ядра.

6. Результаты по измерению среднего времени распада τ_s фраг-

ментирующих ядер, образующихся в p+Au соударениях при энергиях протонов 8.1 ГэВ. Это сделано путем анализа для генетически связанных фрагментов измеренной корреляционной функции в отношении их относительного угла.

Научная новизна

1. Предложен и реализован γ -активационный метод измерения толщины слоя поликристаллического CsI(Tl), нанесенного на подложку большой площади ($\sim 150 \text{ см}^2$).

2. Впервые получены распределения по множественности фрагментов промежуточной массы для p+Au соударений при энергиях протонов 2.16, 3.6 и 8.1 ГэВ.

3. Развит новый вариант комбинированного подхода для описания разрыва высоковозбужденных спектаторов мишени в протон-ядерных соударениях, включающий модифицированный внутриядерный каскад и статистическую модель мультифрагментации. Модель успешно описывает распределение фрагментов по множественности, заряду, углу эмиссии и энергетические спектры фрагментов. Это является свидетельством того, что в случае p+Au соударений мы имеем дело с "тепловой" мультифрагментацией – процессом, характеристики которого целиком определяются нагревом (температурой) ядра.

4. Впервые получена оценка временной шкалы мультифрагментации в p+Au соударениях при энергии протонов 8.1 ГэВ. Найдено, что измеренное среднее время жизни ядра ($\tau_s \leq 70 \text{ Фм/с}$) существенно меньше, чем характерное время для последовательной и независимой эмиссии фрагментов. Это является доказательством того, что тепловая мультифрагментация – новый (многотельный) тип распада высоковозбужденных ядер.

Научная и практическая значимость

1. В данной работе предложен метод измерения толщин тонкослойных сцинтилляторов CsI(Tl) большой площади ($\sim 150 \text{ см}^2$) методом γ -активационного анализа. Предложенная методика может быть полезна в работах при подготовке экспериментов с использованием такого рода сцинтилляционных детекторов.

2. В работе развит новый вариант комбинированного подхода для

описания p+Au соударений в протон-ядерных соударениях. Данная модель может быть успешно применена для описания процесса мультифрагментации в протон-ядерных и ядро-ядерных соударениях.

3. Впервые проведено систематическое изучение процесса мультифрагментации в p+Au соударениях при энергии протонов 2.16, 3.6 и 8.1 ГэВ, что дает ценную информацию о механизме тепловой ядерной мультифрагментации.

Апробация работы

Работа была апробирована на XV Nuclear Physics Divisional Conference (St. Petersburg, Russia, 1995), VI International School-Seminar (Dubna, Russia, 1997), International Workshop XXII on Gross Properties of Nuclear Excitations (Hirschegg, Austria, 1999) и на семинарах по физике низких энергий ЛЯП ОИЯИ. Основная часть результатов исследований опубликована в шести работах [1-6].

Структура и объем диссертации

Диссертация состоит из введения, трех глав и заключения. Объем диссертации 89 страниц. Диссертация содержит 46 рисунков и 7 таблиц. Список литературы включает 89 наименований.

В введении изложены современные представления о механизме процесса ядерной мультифрагментации, сформулирована цель работы и обоснован подход к изучению рассматриваемого явления.

В первой главе изложены основные экспериментальные закономерности процесса ядерной мультифрагментации. Делается краткий обзор моделей фрагментации ядер. Даётся формулировка и детальное описание комбинированной модели фрагментации ядер, применяемой для анализа экспериментальных данных, полученных в реакциях релятивистских протонов с ядрами золота на установке "ФАЗА". В данной модели первая стадия реакции описывается в рамках модели внутриядерных каскадов (МВК). После прохождения первой стадии реакции образуются высоковозбужденное термализованное остаточное ядро. В зависимости от приобретенной энергии возбуждения E^* оно либо испаряет чатицы, либо испытывает расширение и развал на фрагменты. Эта стадия процесса описывается на основе статистической модели мультифрагментации (СММ). В дальнейшем описанный выше комбинированный подход будем обозначать как МВК+СММ.

Во второй главе представлено описание установки "ФАЗА", ее детектирующих систем. Установка состоит из детектора множественности фрагментов (ДМФ, полный телесный угол составляет $\sim 3.6\pi$) и пяти $\Delta E - E$ телескопов-спектрометров (ТС) фрагментов (полный телесный угол $\sim 3 \cdot 10^{-3}4\pi$), образующих триггерную часть установки. ДМФ скомпонован из 64 сцинтилляционных счетчиков с плоскими сцинтилляторами CsJ(Tl) большой площади ($\sim 150 \text{ см}^2$). Сцинтилляционный детектор представляет собой плексигласовую пластину толщиной 2 мм, на которую термическим вакуумным испарением наносится поликристаллический слой CsI(Tl) по методике, разработанной и осуществленной в НПО "Монокристалл" (г.Харьков). Назначение ДМФ — регистрировать фрагменты с $Z > 2$, определять их множественность и направление вылета из мишени. В данной главе также подробно изложена методика и результаты измерений толщины тонкослойных поликристаллических слоев CsJ(Tl) методом γ -активационного анализа. Основным критерием выбора метода измерения явилось условие неразрушения исследуемых сцинтилляторов, а также возможность детально исследовать их поверхность с целью выяснения степени равномерности нанесенного слоя по толщине. Толщины поликристаллических слоев CsI(Tl) определялись путем сравнения наведенной активности в "рабочих" сцинтилляторах и контрольных образцах с известной толщиной CsJ(Tl). На Рис.3 представлено распределение сцинтилляторов по толщине согласно этим измерениям. На рисунке также показано (пунктирной линией) распределение тех же образцов по толщине в соответствии с паспортными данными.

Также проведено измерение распределения β активности по поверхности для одного из сцинтилляторов (толщина поликристаллического слоя CsI(Tl) образца составляет $38 \text{ мг}/\text{cm}^2$). На Рис.4 показано распределение по толщине поликристаллического слоя CsI(Tl), нанесенного на плексигласовую подложку. Область измерения заштрихована. Сканирование велось от центра в выделенных направлениях. Неоднородность слоя значительно больше, чем паспортные значения (< 15%): при перемещении от центра сцинтиллятора к периферии толщина уменьшается на $\sim (25-30)\%$.

Результаты этих измерений были важны для корректного определения эффективности регистрации фрагментов в сцинтилляторе.

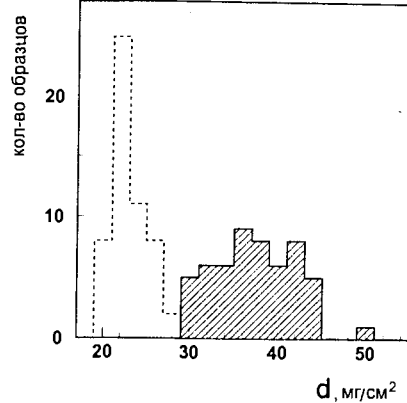


Рис.3. Распределение образцов по толщине слоя поликристаллического CsI(Tl). Заштрихованная область - данные, полученные методом активации.

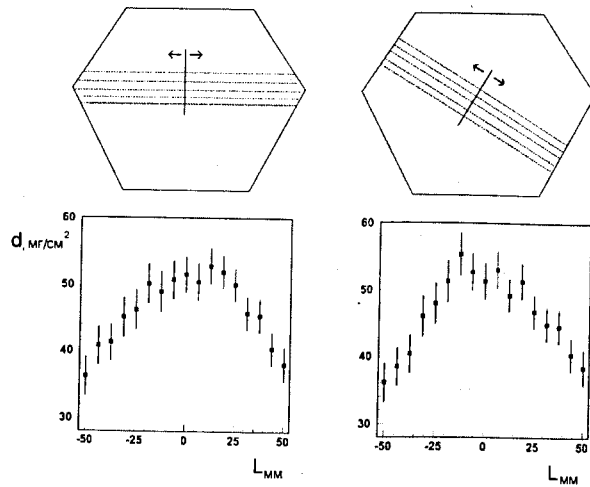


Рис.4. Распределение по толщине поликристаллического слоя CsI(Tl), нанесенного на плексигласовую подложку. Область измерения заштрихована. Сканирование ведется от центра в выделенных направлениях.

В данной главе также приводится функция отклика детектирую-

щей системы. С помощью ДМФ можно измерить $W_A(M_A)$ так называемое распределение ФПМ по ассоциативной множественности M_A для событий, триггеремых фрагментом, попавшим в один из ТС. Соответственно полная измеряемая множественность в событиях по крайней мере с одним фрагментом промежуточной массы будет равна $1 + M_A$. Измеренное $W_A(M_A)$ и первичное $W(M)$ распределения связаны соотношением:

$$W_A(M_A) = \sum_{M=M_A+1}^{M_{\max}} Q(M_A, M) \cdot W(M), \quad (1)$$

где $Q(M_A, M)$ — функция отклика системы, включающая в себя а) вероятность триггерования, которая пропорциональна первичной множественности M , б) вероятность регистрации в ДМФ M_A фрагментов из оставшихся $(M-1)$ фрагментов.

Таким образом,

$$Q(M_A, M) = \frac{M!}{M_A!(M-1-M_A)!} \varepsilon^{M_A} (1-\varepsilon)^{(M-1-M_A)} \frac{M}{\langle M \rangle}, \quad (2)$$

где ε — эффективность регистрации фрагмента ДМФ. $\varepsilon = \frac{N}{72} \varepsilon_{CsI}$, N — число сцинтилляционных детекторов ДМФ, ε_{CsI} — средняя эффективность регистрации фрагмента одним детектором.

В третьей главе приведены результаты экспериментов на установке "ФАЗА" в случае p+Au соударений для энергий протонов 2.16, 3.6 и 8.1 ГэВ. Даётся теоретическое описание полученных результатов в рамках модифицированной комбинированной модели мультифрагментации.

1. Средняя множественность ФПМ. На Рис.5а представлены измеренные распределения $W_A(M_A)$ по ассоциативной множественности ФПМ (при наличии триггерного фрагмента в одном из ТС) в p(2.16, 3.6 и 8.1 ГэВ)+Au соударениях. Средние значения $\langle M_A \rangle$ составляют 0.73 ± 0.02 , 0.96 ± 0.02 и 1.11 ± 0.02 в случае энергий бомбардирующего пучка протонов 2.16, 3.6 и 8.1 ГэВ, соответственно. Соответствующие первичные распределения по множественности ФПМ представлены на Рис.5б. Средние значения первичной множественности $\langle M \rangle$ составляют 1.7 ± 0.2 , 1.9 ± 0.2 и 2.1 ± 0.2 в случае энергий протонов 2.16, 3.6 и 8.1 ГэВ, соответственно.

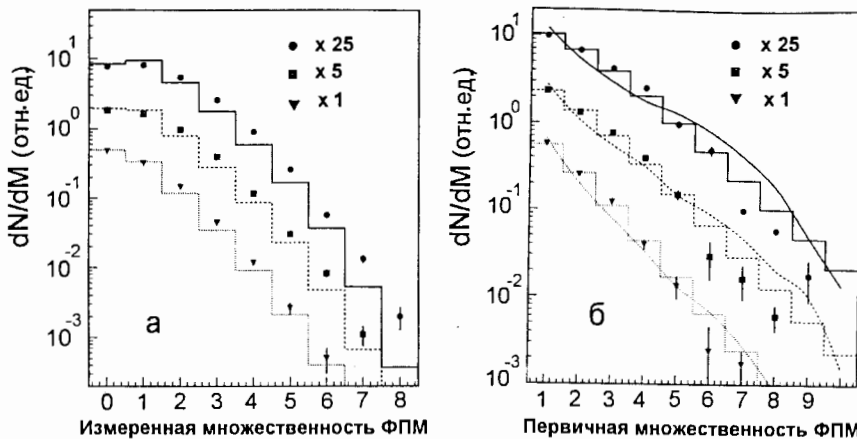


Рис.5. а) Измеренные распределения по средней множественности ФПМ (символы) и результаты их описания Ферми-распределением (пропущенным через экспериментальный фильтр) в случае $p+Au$ соударений при энергии протонов 8.1 ГэВ (кружки, сплошная линия), 3.6 ГэВ (квадраты, штриховая линия), 2.16 ГэВ (треугольники, точечная линия).

б) Первичные распределения по множественности ФПМ. Плавные линии — расчет в рамках MBK+ α +CMM модели (см. текст).

2. Модификация комбинированной модели мультифрагментации. На Рис.6 представлены измеренные и расчетные, в рамках комбинированной модели, средние множественности ФПМ в зависимости от полной энергии налетающих протонов E_p . Верхняя линия на рисунке (штриховая) соответствует расчету в рамках MBK+CMM подхода. Видно, что при больших энергиях налетающих протонов $\langle M_{\text{ФПМ}} \rangle$ почти в два раза больше измеренных значений. Это указывает на то, что модифицированная модель внутриядерных каскадов сильно переоценивает выход остаточных ядер с высокой энергией возбуждения. Использование версии MBK, учитывающей предравновесную эмиссию (ПЭ) частиц на основе экситонной модели для описания начальной стадии реакции, существенно понижает энергию возбужде-

ния и массовое число термализованных ядер остатков. В этом случае MBK+ПЭ+CMM недооценивает $\langle M \rangle$ (точечная линия на рисунке).

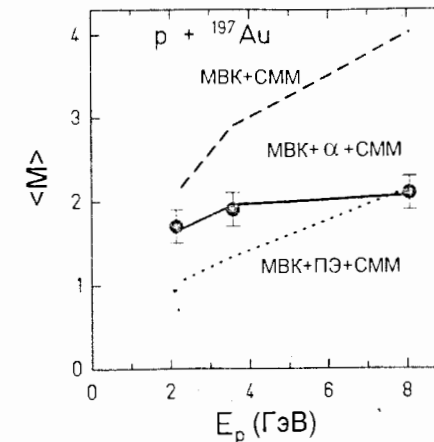


Рис.6. Средние множественности ФПМ (для событий, по крайней мере, с одним фрагментом) в зависимости от энергии бомбардирующей частицы в случае $p+Au$ соударений. Штриховая и точечная линии соответствуют расчетам в рамках MBK+CMM и MBK+ПЭ+CMM подходов. Сплошная линия — результат расчета в рамках MBK+ α +CMM подхода.

Итак, ни MBK, ни MBK+ПЭ не воспроизводят достаточно точно ансамбль термализованных ядер остатков. Отсутствие согласия экспериментально измеренных средних множественностей ФПМ с расчетными приводит нас к идеи о возможном дополнительном броссе массы и энергии высоковозбужденным ядром остатком во времяяго расширения (за счет теплового давления) между быстрой, каскадной частью реакции и статистическим процессом множественного образования фрагментов. Эта идея была реализована в эмпирической процедуре, в результате которой энергия возбуждения E_R и массовое число A_R ядра остатка (после MBK) уменьшались (по событию) для получения средней множественности ФПМ, близкой к измеренному значению. Это делалось введением параметра α , который подбирается из условия согласия расчетной и экспериментально измеренной средними

множественностими ФПМ:

$$\alpha = \frac{\langle M_{\text{ксп.}} \rangle}{\langle M_{\text{МВК+СММ}} \rangle} \quad (3)$$

Тогда дополнительный сброс энергии возбуждения ΔE_R и массы ΔA_R составляет:

$$\Delta E_R = (1 - \alpha) E_R \quad (4)$$

и

$$\Delta A_R = (1 - \alpha)(A_t - A_R) \quad (5)$$

где A_t — масса ядра-мишени.

В дальнейшем комбинированную модель с приведенным выше эмпирическим подходом дополнительного сброса энергии возбуждения будем обозначать — МВК+ α_0 +СММ, с дополнительным сбросом энергии возбуждения и массы — МВК+ α +СММ. Расчетные значения параметра α в случае $p(2.16, 3.6 \text{ и } 8.1 \text{ ГэВ}) + \text{Au}$ соударений составляют 0.77, 0.63 и 0.53, соответственно. Сплошная кривая на Рис.6 и набор линий на Рис.5б представляют результаты расчетов в рамках МВК+ α +СММ модели.

3. Энергетические спектры и угловые распределения ФПМ. На Рис.7 представлены экспериментально измеренный и расчетный, в рамках МВК+ α +СММ модели, энергетический спектр изотопов углерода в случае $p(8.1 \text{ ГэВ}) + \text{Au}$ соударений. Видно, что за исключением высокоенергетического хвоста распределения комбинированная модель достаточно хорошо описывает форму энергетического спектра. Это является свидетельством в пользу статистического механизма мультифрагментации. При этом: а) энергия ФПМ определяется только кулоновским взаимодействием фрагментов на стадии разлета и их начальными тепловыми скоростями; б) эмиссия ФПМ происходит после предварительного расширения ядра за счет теплового давления из состояния с плотностью $(1/3-1/4)$ от нормальной. Наблюдаемое различие в описании высокоенергетического хвоста распределения может свидетельствовать о наличии дополнительного радиального потока или вклада процесса предравновесной эмиссии.

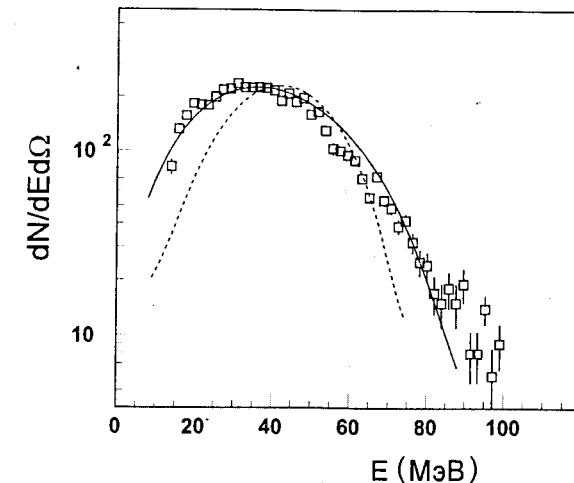


Рис.7. Энергетический спектр изотопов углерода (символы) в $p+Au$ соударениях при энергии протонов 8.1 ГэВ. Сплошная линия — результат расчета в рамках МВК+ α +СММ подхода. Штриховая линия — результат расчета в рамках испарительной модели.

На Рис.7 также приведен энергетический спектр (штриховая линия) фрагментов углерода, полученный в рамках каскадно-испарительной модели. Видно, что при испарении интенсивность быстро спадает как левее, так и правее пика, положение которого определяется величиной кулоновского барьера для двутельного распада. При многочастичном развале вследствие расширения ядра перед развалом кулоновский барьер существенно понижается. Кроме того, спектр уширяется из-за теплового движения фрагментов и вкладов различных каналов распада, содержащих регистрируемый фрагмент.

Таким образом, значительное смягчение энергетических спектров ФПМ свидетельствует о многочастичном характере развода ядра.

На Рис.8 показаны средние энергии ФПМ ($\langle E \rangle$, расчетные и измеренные) в $p+Au$ соударениях при $E_p = 2.16$ и 8.1 ГэВ. В рамках МВК+ α +СММ результаты расчета близки к измеренным значениям для $Z \leq 9$. В случае $Z > 9$ с ростом заряда фрагмента измеренные $\langle E \rangle$ слабо изменяются по сравнению с расчетными величинами. Наблюдаемое существенное различие в средних кинетических энергиях

фрагментов в случае $Z > 9$ является следствием того, что: а) предположение статистической модели о равномерной плотности ядра не соответствует действительности; в центре горячего ядра плотность выше, чем на периферии; б) "тяжелые" фрагменты с большей вероятностью формируются в центральной области ядра.

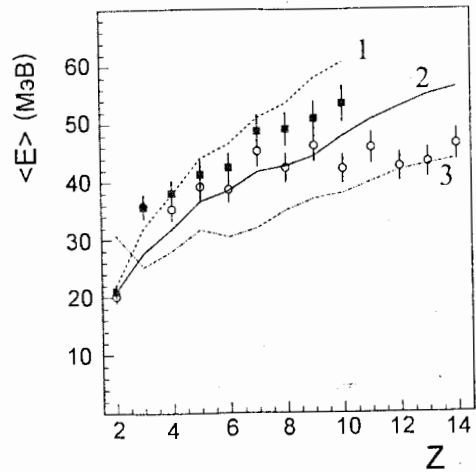


Рис.8. Средние кинетические энергии фрагментов в $p+Au$ соударениях при энергиях протонов 2.16 ГэВ (сплошные квадраты, линия 1) и 8.1 ГэВ (открытые кружки, линии 2 и 3). Линии — результат расчетов в рамках MBK+ α +CMM (1,2) и MBK+ПЭ+CMM (3).

Данное наблюдение представляет дополнительное свидетельство того, что мультифрагментация — процесс объемной эмиссии фрагментов.

На Рис.9 приведены угловые распределения вылетевших фрагментов (в л.с.к.) в реакции $p(3.6, 8.1 \text{ ГэВ})+Au$. Угловые распределения фрагментов анизотропны. Эта анизотропия объясняется движением ядра-остатка (средняя скорость ядра-остатка $\beta_{||}$ в системе движущегося источника составляет $(0.007-0.009)c$). Причем, чем выше энергия возбуждения, тем больше импульс ядра-остатка.

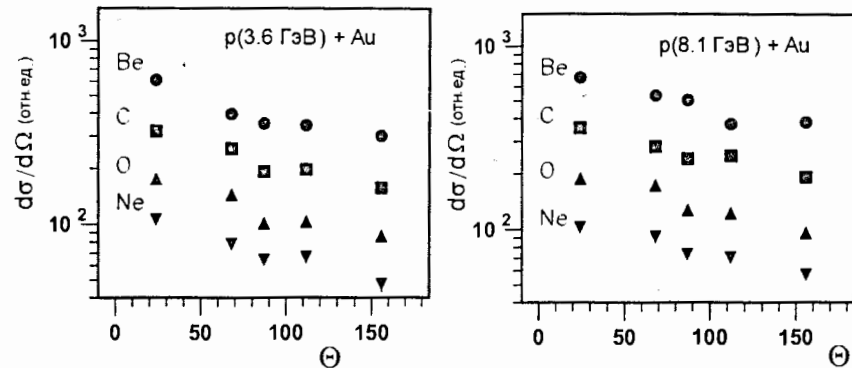


Рис.9. Угловые распределения фрагментов Be, C, O, Ne (в л.с.к.) для $p(3.6 \text{ и } 8.1 \text{ ГэВ})+Au$ соударений.

4. Детальное исследование энергетических спектров. На Рис.10 приведены энергетические спектры изотопов бора, лития, углерода и кислорода в зависимости от измеренной множественности M_A . Вследствие того, что эффективность регистрации ДМФ меньше 100%, энергетический спектр при данной M_A имеет вклад событий с различными первичными множественностями M ФПМ с весами в соответствии с (1). Для приведенных на рисунке энергетических спектров с ростом M_A прослеживается общая закономерность: 1) "температура" T , определяемая как инверсный параметр наклона энергетического спектра, возрастает; 2) энергия максимума спектра E_{max} уменьшается. Это является следствием того, что различный отбор по M_A отражает изменение по энергии возбуждения фрагментирующего ядра остатка.

На Рис.11 представлена зависимость средней энергии $\langle E_C \rangle$ и положения максимума E_{max} для измеренного (символы) спектра изотопов углерода от полной измеренной множественности $M_A + 1$ фрагментов в событии. На рисунке представлены также расчетные, в рамках MBK+ α +CMM модели, значения $\langle E_C \rangle$ (сплошная линия) и E_{max} (штриховая линия) энергетических спектров фрагментов углерода, пропущенные через экспериментальный фильтр. В соответствии с

(1) расчетное значение $\langle E_C \rangle$ для данной множественности M_A определяется как:

$$\langle E_C \rangle(M_A) = \sum_{M=M_A+1}^{M_{\max}} Q(M_A, M) \langle E_C \rangle(M) \cdot W(M) \quad (6)$$

Из рисунка видно, что расчет демонстрирует более сильную зависимость $\langle E_C \rangle$ и E_{max} от M_A по сравнению с измеренными значениями. Возможно это связано с тем, что: а) в отличие от предположений СММ вторичный распад возбужденных фрагментов, вероятнее всего, происходит в течение их времени ускорения в кулоновском поле системы; б) модель переоценивает вклад процесса квазинапарения (тяжелый фрагмент в сопровождении нескольких кластеров и нуклонов) для событий с множественностью равной 1, что ведет к существенному превышению расчетной $\langle E_c \rangle$ по сравнению с экспериментально измеренной величиной. Это соответствует энергиям возбуждения ядра $E^* \approx (2 \div 3)$ МэВ/нуклон. С увеличением E^* вероятность такого канала распада становится крайне малой.

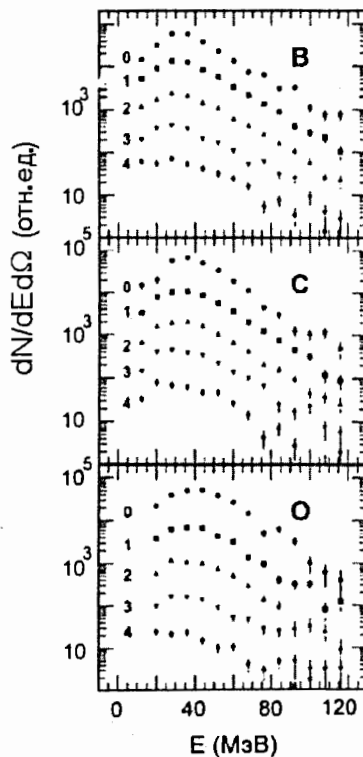


Рис.10. Энергетические спектры фрагментов B, C, O при различных отборах по ассоциативной множественности M_A .

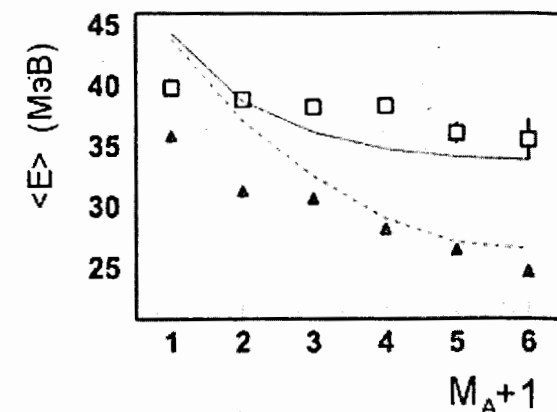


Рис.11. Средние энергии $\langle E \rangle$ (и E_{max}) изотопов углерода в зависимости от множественности ФПМ в реакции $p(8.1 \text{ ГэВ}) + \text{Au}$. Верхняя часть: экспериментальные данные (символы), полученные из энергетических спектров, представленных на Линии — расчет в рамках MBK+α+CMM для $\langle E \rangle$ (сплошная линия) и E_{max} (штриховая линия), пропущенный через экспериментальный фильтр.

5. Зарядовые распределения ФПМ. На Рис.12 показаны зарядовые распределения ФПМ. Линии на рисунке представляют результат расчета в рамках MBK+α+CMM подхода. Видно хорошее описание экспериментальных данных. Часто зарядовые выходы фрагментов $Y(Z)$ параметризуют степенной зависимостью $Y(Z) \sim Z^{-\tau}$. В случае энергий пучка протонов 2.16, 3.6 и 8.1 ГэВ параметр $\tau = 2.17 \pm 0.08$, 1.90 ± 0.06 и 1.93 ± 0.06 , соответственно. Вставка на Рис.12 демонстрирует зависимость τ от измеренной ассоциативной множественности M_A в случае энергии пучка 8.1 ГэВ. С ростом M_A параметр τ сначала уменьшается, достигая минимального значения, а затем растет. В ранних работах по мультифрагментации параметризация зарядовых (массовых) распределений ФПМ степенным законом $Y(Z) \sim Z^{-\tau}$ и наблюдение минимального значения параметра τ интерпретировалось как проявление скейлингового поведения вблизи критической точки фазового перехода "жидкость-газ" в ядерном веществе.

Однако расчеты в рамках СММ подтверждают такое представление с той лишь разницей, что такое поведение имеет место при температуре $T = (5 - 6)$ МэВ, которая значительно ниже T_c . Другое, более простое объяснение наблюдаемого минимального значения параметра τ , лежит в рассмотрении механизма вторичного распада возбужденных фрагментов.

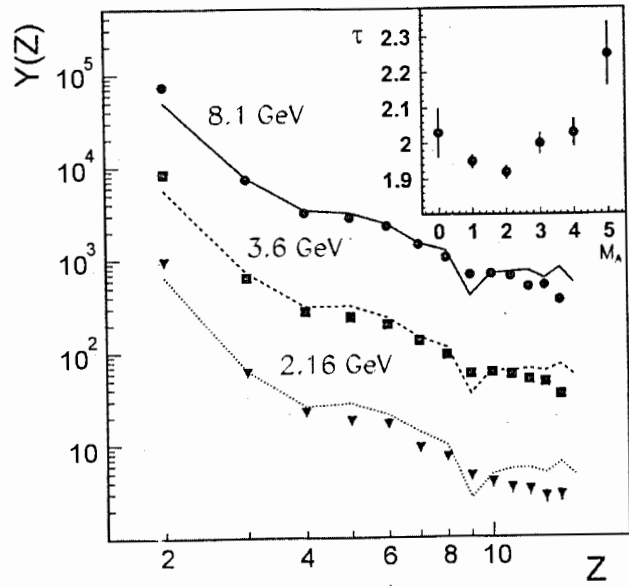


Рис.12. Зарядовые распределения фрагментов при энергиях протонов 8.1 ГэВ (верхнее), 3.6 ГэВ ($\times 1/4$), 2.16 ГэВ ($\times 1/6$). Линии – расчет в рамках ММВК+ α +СММ модели (нормировано к $Z=3$). На вставке приведена зависимость параметра τ , полученного из зарядовых спектров ФПМ в случае энергии протонов 8.1 ГэВ, от измеренной множественности ФПМ.

Как уже упоминалось ранее, множественность фрагментов зависит от энергии возбуждения ядра E^* . В случае малых множественностей (малая E^*) основным каналом распада ядра является испарение. Рост E^* приводит к увеличению выхода более тяжелых фрагментов (режим мультифрагментации) и, соответственно, уменьшению параметра τ .

С дальнейшим ростом E^* вклад процесса вторичного распада горячих фрагментов становится значительным, что ведет к увеличению выхода легких фрагментов (рост τ). Это и демонстрирует вставка на Рис.12.

5. Временная шкала процесса мультифрагментации. Временная шкала процесса мультифрагментации является ключевой в понимании механизма этого явления: либо это процесс последовательного испарения ФПМ или это новый механизм распада взрывного типа, когда фрагменты возникают практически мгновенно. “Одновременность” означает то, что время формирования и испускания фрагментов существенно меньше характерного “кулоновского” времени $\tau_c \approx 10^{-21}$ с. При больших временах эмиссии фрагментов может считаться независимой. Таким образом, измерение времени эмиссии τ_{em} (средний интервал времени между последовательным вылетом фрагментов) или среднего времени жизни τ_s фрагментирующего ядра дает ответ о механизме изучаемого процесса. Временная шкала процесса оценивается путем сравнения измеренной “фрагмент фрагмент” корреляционной функции в отношении их относительного угла (или относительной скорости) с теоретической, полученной в результате расчета многотельных кулоновских траекторий с временем жизни τ_s (или τ_{em}) в качестве параметра. Корреляционная функция имеет минимум при $\Theta_{rel} = 0$ ($V_{rel} = 0$) вследствие кулоновского расталкивания между вылетающими в одном событии фрагментами. Величина этого эффекта зависит от среднего времени жизни распадающейся системы: чем больше τ_{em} , тем больше расстояние между вылетающими фрагментами, а следовательно, слабее их кулоновское расталкивание.

На Рис.13 представлена измеренная (символы) и расчетная корреляционные функции генетически связанных фрагментов. Теоретическая кривая получена для различных времен жизни τ_s . Для каждого фрагмента в событии момент начала движения в кулоновском поле разыгрывался в соответствии с вероятностью $P(t) \sim \exp(-t/\tau_s)$. Были проведены расчеты для среднего времени жизни ядра $\tau_s = 0, 50, 100$ и 200 Фм/с.

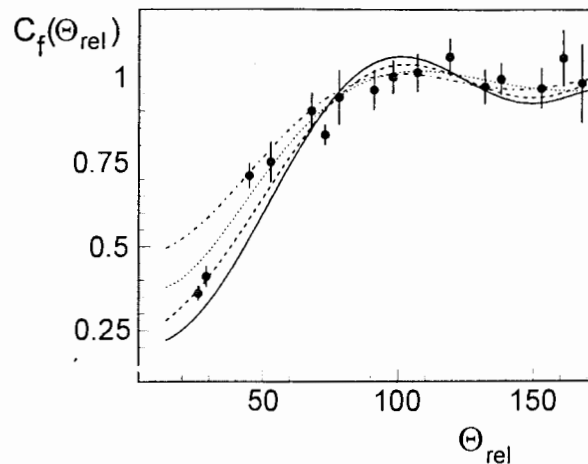


Рис.13. Сравнение измеренной (точки) корреляционной функции с расчетной при различных временах жизни τ_s распадающейся системы: сплошная, штриховая, точечная и штрих-пунктирная линии соответствуют $\tau_s=0, 50, 100$ и 200 Фм/с:

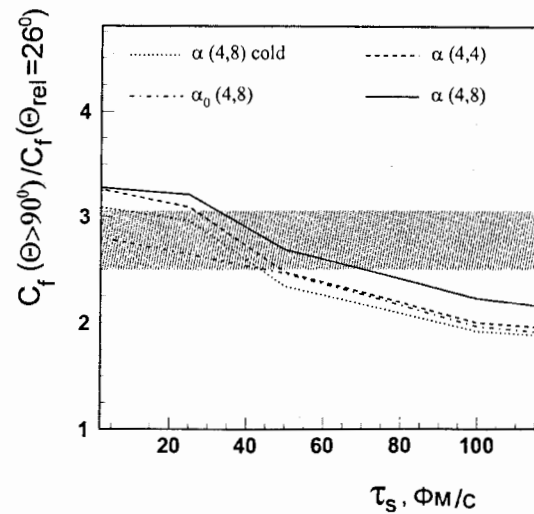


Рис.14. Отношение средней величины корреляционной функции при $\Theta_{rel} > 90^\circ$ к величине при $\Theta_{rel} = 26^\circ$.

На Рис.14 представлена зависимость величины "провала" корреляционной функции на малых относительных углах, определяемая как

отношение ее значения при $\Theta_{rel} > 90^\circ$ (среднее значение) к $\Theta_{rel} = 26^\circ$ от времени жизни τ_s . Расчеты были сделаны в рамках обсуждавшихся выше подходов: МВК+ α +СММ при двух предположениях: а) о времени вторичного раз渲а τ_{sec} фрагментов: "мгновенного", $\tau_{sec} \ll \tau_c$ (точечная), и времени, большего кулоновского времени ($\tau_{sec} > \tau_c$, сплошная линия); б) величины раз渲ального объема, используемого для расчета кулоновских траекторий фрагментов: $V_b = 4V_0$ (штриховая линия) и $V_b = 8V_0$ (сплошная линия), где V_0 —начальная плотность ядра; и МВК+ α_0 +СММ (штрих-пунктирная линия).

Выделенная область на рисунке соответствует экспериментально измеренному отношению с ошибкой ($\pm 2\sigma$), определяющему среднее время жизни τ_s фрагментирующего ядра в $p(8.1 \text{ ГэВ})+\text{Au}$ соударениях. В таблице 1 приведены оценки τ_s в соответствии с упомянутыми выше различными модельными предположениями (Рис.14.).

Таблица 1

Модель	$\alpha(4,8)$	$\alpha(4,4)$	$\alpha(4,8) cold$	$\alpha_0(4,8)$
τ_s Фм/с	50 ± 18	37 ± 13	27 ± 17	≤ 45

Дается оценка измеренного среднего времени жизни ядра $\tau_s \leq 70$ Фм/с. Это является доказательством того, что тепловая мультифрагментация — новый (многотельный) тип распада возбужденных ядер.

В заключении сформулированы основные результаты диссертации.

1. В рамках методических работ по модернизации установки "ФАЗА" произведена замена сплошных плексигласовых световодов ДМФ на полые новой конструкции. В результате такой замены вклад фона случайных совпадений в сцинтилляционных счетчиках от чerenковского излучения уменьшился с 15.2% до 1.2%. Амплитудное разрешение улучшилось с 32% до 23%.

2. Предложен γ -активационный метод измерения толщины слоя поликристаллического CsI(Tl), нанесенного на подложку большой площади ($\sim 150 \text{ см}^2$). Была измерена партия сцинтилляторов, специально изготовленных для использования в установке "ФАЗА" в ка-

честве ДМФ. С помощью сканирования β -активности удалось проследить и распределение толщины сцинтиллятора по поверхности подложки. Найдено, что в использованной методике термического испарения разброс по толщине центр-периферия (при линейном размере сцинтиллятора 140 мм) составляет $\approx 25\%$. Результаты этих измерений важны для корректного определения эффективности регистрации фрагментов в сцинтилляторе.

3. С помощью 4π -установки "ФАЗА" был исследован процесс ядерной мультифрагментации в $p+Au$ соударениях при энергиях протонов 2.16, 3.6 и 8.1 ГэВ.

— Впервые получены распределения по множественности фрагментов промежуточной массы (ФПМ). Им отвечают средние значения 1.7, 1.9 и 2.1 при энергиях бомбардирующих частиц 2.16, 3.6 и 8.1 ГэВ, соответственно.

— Измерены зарядовые распределения распределения ФПМ. Они могут описаны степенной функцией $Z^{-\tau}$, где $\tau = 2.17, 1.9$ и 1.93 в случае энергий протонов 2.16, 3.6 и 8.1 ГэВ, соответственно. В случае $p(8.1 \text{ ГэВ})+Au$ соударений измерены зарядовые распределения ФПМ при различных множественностях.

— Измерены энергетические спектры (инклюзивные и эксклюзивные) фрагментов в диапазоне зарядов от $Z=2$ до $Z=14$.

— Измерены угловые распределения вылетевших фрагментов.

— Измерены угловые корреляции генетически связанных фрагментов.

4. В работе развит новый вариант комбинированного подхода для описания процесса раз渲а высоковозбужденных спектаторов мишени в протон-ядерных соударениях. Показано, что внутриядерный каскад (МВК), обычно используемый для расчета быстрой стадии взаимодействия, сильно переоценивает выход остаточных ядер с высокой энергией возбуждения. Вследствие этого статистическая модель мультифрагментации (СММ), описывающая дальнейший процесс распада системы, дает существенно завышенные значения средней множественности ФПМ. Отсутствие согласия экспериментально измеренных средних множественностей ФПМ с расчетными приводит к идее о возможном дополнительном сбросе массы и энергии высоковозбужденным ядром-остатком во время расширения (за счет теплового давле-

ния) между быстрой, каскадной частью реакции и статистическим процессом множественного образования фрагментов. Эта идея была реализована в эмпирической процедуре, в результате которой энергия возбуждения и массовое число ядра-остатка (после МВК) уменьшались для получения средней множественности ФПМ, близкой к измеренному значению. Все расчеты проводились по событийно. Это позволило более достоверно рассчитывать характеристики (A, Z, E^*) фрагментирующего ядра.

5. С помощью этой модели хорошо описываются зарядовые распределения ФПМ, их энергетические спектры и распределения по множественности. Это является дополнительным доказательством статистического механизма мультифрагментации на релятивистских пучках протонов, когда все характеристики процесса целиком определяются "тепловой" энергией возбуждения.

6. Получена оценка временной шкалы мультифрагментации в $p+Au$ соударениях при энергии протонов 8.1 ГэВ. Это сделано путем сравнения измеренной для генетически связанных фрагментов корреляционной функции в отношении их относительного угла с теоретической. Последняя была получена в результате расчета многотельных кулоновских траекторий с временем жизни τ_s фрагментирующего ядра в качестве параметра. При этом исследована:

— модельная чувствительность полученных результатов (использовались два варианта комбинированной модели);

— зависимость результатов от времени вторичного распада горячих фрагментов;

— чувствительность формы корреляционной функции к величине "развального объема" V_b .

Впервые измерено среднее время жизни распадающегося ядра $\tau_s \leq 70 \text{ Фм/с}$, что существенно меньше, чем характерное время для последовательной и независимой эмиссии фрагментов. Это является доказательством того, что исследуемый нами процесс — новый (многотельный) тип распада высоковозбужденных ядер — тепловая мультифрагментация.

7. Проведено сравнение расчетных и измеренных средних кинетических энергий ФПМ. Отмечено, что расчетные значения средних кинетических энергий фрагментов превышают измеренные в случае

$Z \geq 10$. Это интерпретируется как указание на то, что более тяжелые фрагменты формируются преимущественно в центральной области возбужденного ядра, где кулоновское поле отсутствует. Данное наблюдение представляет дополнительное свидетельство того, что мультифрагментация – процесс объемной эмиссии фрагментов.

8. Проведено детальное сравнение измеренных и расчетных спектров фрагментов углерода в зависимости от множественности ФПМ.

— Измеренные средние кинетические энергии фрагментов уменьшаются с ростом множественности, однако заметно слабее, чем расчетные значения. Возможно это связано с тем, что девозбуждение фрагментов происходит во время их ускорения в кулоновском поле, а не после того, как предполагает статистическая модель.

— Средние энергии фрагментов углерода для событий с множественностью равной 1 меньше, чем расчетные значения. В модели этому случаю отвечает испарение фрагмента с поверхности ядра-остатка. По-видимому такой вариант реализуется с меньшей вероятностью, чем в модели.

Основные результаты работы опубликованы в статьях:

1. С.П.Авдеев, ..., В.К.Родионов, ... "Установка для исследования ядерной мультифрагментации "ФАЗА"". ПТЭ, № 2 (1996) 7–14.
2. S.P.Avdeyev, ..., V.K.Rodionov, ... "Thermal multifragmentation in p+Au collisions at relativistic energies". JINR Rapid Communications, 2[82]–97, 71–80.
3. S.P.Avedeyev, ..., V.K.Rodionov, ... "Thermal multifragmentation in p+Au interactions at 2.16, 3.6 and 8.1 GeV incident energies". Eur.Phys.Journal, A3 (1998) 75–83.
4. V.A.Karnaukhov, ..., V.K.Rodionov, ... "Multifragmentation induced by light relativistic projectiles and heavy ions: similarities and differences". Yad.Fiz., No.2, 62 (1999), 1–8.
5. С.П.Авдеев, ..., В.К.Родионов, ... "Измерение толщин тонкослойных сцинтилляторов CsI(Tl)". ПТЭ, № 5 (2001) 70–73.
6. V.K.Rodionov, S.P.Avdeyev, ... "Time scale of the thermal multifragmentation in p+Au collisions at 8.1 GeV". Nucl.Phys., A700 (2002) 457–468.